

Δεύτερη Υποχρεωτική Εργασία

Ονοματεπώνυμο: Ασημάκης Κύδρος
ΑΕΜ: 3881

26 Ιανουαρίου 2022

1 Πέμπτη Άσκηση

Για την προσέγγιση του ημιτόνου, χρησιμοποιήθηκαν τα εξής σημεία-δείγματα:

x (radians)	sin(x)
$-\pi$	0
$-\frac{\pi}{2}$	-1
$-\frac{\pi}{4}$	-0.707106
$-\frac{\pi}{8}$	-0.382683
0	0
1	0.841470
$\frac{\pi}{8}$	0.382683
$\frac{\pi}{4}$	0.707106
$\frac{\pi}{2}$	1
π	0

(με την ακρίβεια που φαίνεται).

α) Μέθοδος Lagrange

Στην πρώτη εκτέλεση, ο αλγόριθμος καλεί τα σημεία και τα αποθηκεύει στην μνήμη για να μην καλούνται συνεχώς. Έπειτα χτίζει τον γνωστό τύπο:

$$L_i(x) = \prod_{j=0, i \neq j}^n \frac{x - x_j}{x_i - x_j}$$

θεωρώντας όπου x την παράμετρο της συνάρτησης και ενημερώνει την (αρχικά 0) σούμα:

$$sum+ = y_i L_i(x)$$

Έφροσον χρησιμοποιούμε κατευθείαν την ζητούμενη τιμή στην κατασκευή του πολυωνύμου, η σούμα αυτή αντιπροσωπεύει

το αποτέλεσμα-προσέγγιση του ημιτόνου για την περασμένη τιμή.

β) Μέθοδος splines(φυσικά κυβικά)

Θεωρώντας κάθε spline ως πολυώνυμο της μορφής

$$y = a + b(x - x_0) + c(x - x_0)^2 + d(x - x_0)^3$$

Ορίζουμε την πεντάδα (a, b, c, d, x_0) που θα αντιπροσωπεύει ένα spline. Αφού η θεωρητική μεθοδολογία απαιτεί αόριστη ολοκλήρωση, βρίσκουμε τα splines για τα σημεία μας μέσω του **εξής αλγορίθμου**.

Έχοντας βρει τα splines, η συνάρτηση-προσέγγιση τα αποθηκεύει στην μνήμη για να μην καλούνται συνεχώς. Καλεί με τον ίδιο τρόπο και τα ίδια τα σημεία για να τα χρησιμοποιήσει ως πεδία ορισμού των splines. Για κάθε παράμετρο, βρίσκει σε πιο πεδίο ορισμού ανήκει και επιστρέφει το αποτέλεσμα του αντίστοιχου spline για την συγκεκριμένη παράμετρο.

γ) Μέθοδος ελαχίστων τετραγώνων

Η συνάρτηση δέχεται ως ορίσματα το σημείο x για το οποίο ζητείται η τιμή του, καθώς και ο βαθμός του πολυωνύμου-προσέγγιση που απαιτείται. Στην προκειμένη περίπτωση χρησιμοποιήθηκε τρίτου βαθμού πολυώνυμο.

Αρχικά η συνάρτηση καλεί τους συντελεστές του πολυωνύμου για να τους αποθηκεύσει στην μνήμη ώστε να μην καλούνται συνεχώς. Αυτή η διαδικασία καλεί τα σημεία-δείγματα και αρχικοποιεί με αυτά τους πίνακες A, b :

$$A = \begin{bmatrix} 1 & x_i & x_i^2 & x_i^3 \\ . & . & . & . \end{bmatrix}$$
$$b = \begin{bmatrix} y_i \\ \dots \end{bmatrix}$$

$i = 0, 1, \dots, n-1$ $n =$ αριθμός σημείων. Μετέπειτα υπολογίζει τους πίνακες $A^T A$, $A^T b$ χρησιμοποιώντας τις μεθόδους και τις κλάσεις των προηγούμενων ασκήσεων. Η λύση του

$$(A^T A)c = A^T b$$

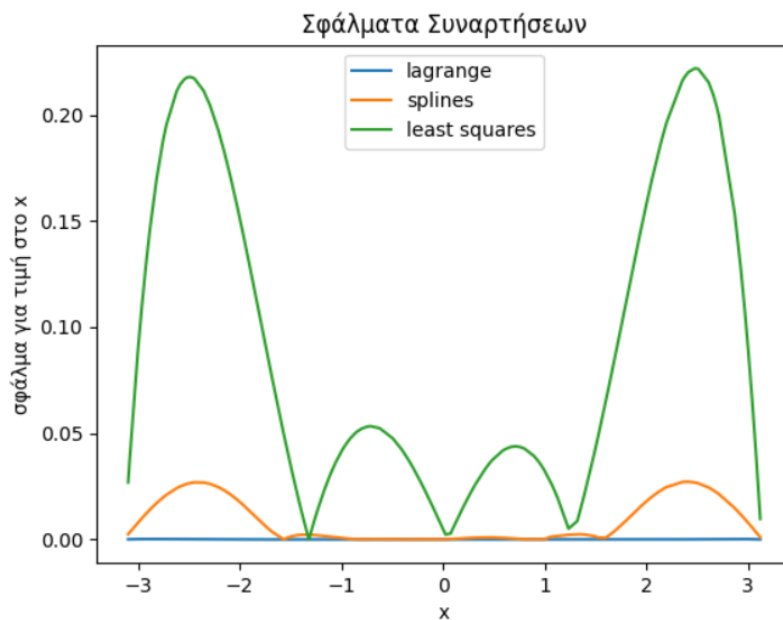
μέσω Gauss περιγράφει τους συντελεστές.

Έχοντας κάνει αυτά, η συνάρτηση-προσέγγιση επιστρέφει την τιμή

$$c_0 + c_1 x + c_2 x^2 + c_3 x^3$$

για κάθε παράμετρο x .

Τρέχουμε τις παραπάνω προσομοιώσεις για διακόσιες τυχαίες τιμές στο $[-\pi, \pi]$. Προβάλλοντας τις αποκλίσεις τους για κάθε μέθοδο σε διάγραμμα, βλέπουμε το εξής:



Παρατηρούμε ότι, από άποψη ελαχιστοποίησης σφάλματος, η lagrange είναι κατά πολύ η καλύτερη μέθοδος. Ακολουθεί η splines και τελευταία είναι η ελάχιστων τετραγώνων, με

μεγάλο σφάλμα, κάτι αναμενόμενο, καθώς από την φύση του το πολυώνυμο που παράγει δεν περνάει από κανένα από τα δωσμένα σημεία.

Συγκρίνοντας τα αποτελέσματα, μπορούμε να πούμε ότι η μέθοδος lagrange πετυχαίνει τουλάχιστον 3 δεκαδικά ψηφία ακρίβειας, η μέθοδος των splines πετυχαίνει τουλάχιστον 1 και τα ελάχιστα τετράγωνα το πολύ 2.

2 Έκτη Άσκηση

Καλούμαστε να βρούμε προσεγγιστικά την τιμή του

$$I = \int_0^{\frac{\pi}{2}} \sin(x) dx$$

Προτού αρχίσουμε την προσεγγιστική διαδικασία, λύνουμε χειροκίνητα το ολοκλήρωμα για να βρούμε ότι η πραγματική τιμή του είναι 1, κάτι που θα χρησιμεύσει αργότερα.

Τόσο η μέθοδος τραπεζίου όσο και του Simpson απαιτούν ομοιόμορφη κατανομή του πεδίου ορισμού. Μέσω της συνάρτησης `divide_domain_equal()`, χωρίζουμε το $[0, \frac{\pi}{2}]$ σε 10 ίσα τμήματα. Δηλαδή τα 11 σημεία είναι:

$$\begin{bmatrix} 0 \\ \frac{\pi}{20} \\ \frac{\pi}{10} \\ \frac{3\pi}{20} \\ \frac{\pi}{5} \\ \frac{4\pi}{20} \\ \frac{6\pi}{20} \\ \frac{7\pi}{20} \\ \frac{8\pi}{20} \\ \frac{9\pi}{20} \\ \frac{\pi}{2} \end{bmatrix}$$

α) Μέθοδος τραπεζίου

Η συνάρτηση δέχεται ως παραμέτρους το πεδίο ορισμού και τον αριθμό των σημείων. Διαχωρίζει το πεδίο με τον προαναφερόμενο τρόπο και, με τα 11 σημεία που πήρε, εκτελεί

την γνωστή πράξη:

$$I = \frac{b-a}{2N}(f(x_0) + f(x_N) + 2 \sum_{i=1}^{N-1} f(x_i))$$

για $b-a = \frac{\pi}{2}$, $N = 10$.

Αυτό, για πεδίο $[0, \frac{\pi}{2}]$ με 11 σημεία επιστρέφει τιμή 0.997943. Έχουμε δηλαδή αριθμητικό σφάλμα 0.00205701, το οποίο συμφωνεί με τα όρια του θεωρητικού σφάλματος, καθώς μέσω του τύπου

$$|e| \leq \frac{(b-a)^3}{12N} \max_{[0, \frac{\pi}{2}]} |f''(x)|$$

βρήσκουμε $|e| \leq 0.002669$ (το μέγιστο της $|f''|$ είναι 1).

β) Μέθοδος Simpson

Με παρόμοιο τρόπο, η συνάρτηση αποκτά τα 11 σημεία, με τα οποία εκτελεί την γνωστή διαδικασία:

$$S_{odds} = \sum_{i=1}^{\frac{N}{2}} f(x_{2i-1}) \quad (1)$$

$$S_{evens} = \sum_{i=1}^{\frac{N}{2}-1} f(x_{2i}) \quad (2)$$

$$I = \frac{b-a}{3N}(f(x_0) + f(x_N) + 4S_{odds} + 2S_{evens}) \quad (3)$$

που για πεδίο $[0, \frac{\pi}{2}]$ και 11 σημεία επιστρέφει τιμή 1.000003. Έχουμε δηλαδή αριθμητικό σφάλμα 0.000003, πολύ μικρότερο από αυτό της μεθόδου του τραπεζίου, όπως ήταν αναμενόμενο, και είναι επίσης σύμφωνο με την θεωρία, αφού υπολογίζοντας

$$|e| \leq \frac{(b-a)^5}{180N^4} \max_{[0, \frac{\pi}{2}]} |f^{(4)}(x)|$$

βρήσκουμε θεωρητικό σφάλμα $|e| \leq 0.000004$ (το μέγιστο της $|f^{(4)}|$ είναι επίσης 1).

3 Έβδομη Άσκηση

Καλούμαστε να προβλέψουμε τις τιμές κλεισίματος των CENER και CNLCAP για τις 6 επόμενες συνεδριάσεις από αυτήν που έλαβε χώρα στις 15/01/2021. Το προσεγγίζουμε με την μέθοδο των ελαχίστων τετραγώνων από την άσκηση 5).

Χρησιμοποιούμε ως δεδομένα-σημεία τα στοιχεία των 10 προηγούμενων συνεδριάσεων από τότε, σε μορφή (YYMMDD, CLOSING_VALUE) (πχ αν στις 14/01/2021 η τιμή κλεισίματος ήταν 1.710000 τότε θεωρούμε το αντίστοιχο σημείο ως (210114, 1.710000)).

Ο αλγόριθμος επιστρέφει τα παρακάτω αποτελέσματα:

```
Predictions for CENER:
->at 18/1/21:
    actual: 1.714000
    power-2 polynomial: 1.740039
    power-3 polynomial: -2272455213303.125000
    power-4 polynomial: -323051177329557504.000000

->at 19/1/21:
    actual: 1.714000
    power-2 polynomial: 1.740044
    power-3 polynomial: -2517553000677.750000
    power-4 polynomial: -356920677082595328.000000

->at 20/1/21:
    actual: 1.726000
    power-2 polynomial: 1.740050
    power-3 polynomial: -2762708469323.375000
    power-4 polynomial: -390629835757584384.000000

->at 21/1/21:
    actual: 1.700000
    power-2 polynomial: 1.740055
    power-3 polynomial: -3007921620405.250000
    power-4 polynomial: -424178648648515584.000000

->at 22/1/21:
    actual: 1.690000
    power-2 polynomial: 1.740060
    power-3 polynomial: -3253192455088.750000
    power-4 polynomial: -457567097946374144.000000

->at 25/1/21:
    actual: 1.650000
    power-2 polynomial: 1.740075
    power-3 polynomial: -3989351066901.125000
    power-4 polynomial: -556769211536375808.000000
```

```

Predictions for CNLCAP:
->at 18/1/21:
    actual: 8.750000
    power-2 polynomial: 8.705722
    power-3 polynomial: 4160803346944.000000
    power-4 polynomial: 279693287047036928.000000

->at 19/1/21:
    actual: 8.750000
    power-2 polynomial: 8.709238
    power-3 polynomial: 4536852619776.000000
    power-4 polynomial: 308910406225625088.000000

->at 20/1/21:
    actual: 8.750000
    power-2 polynomial: 8.712754
    power-3 polynomial: 4895063779328.000000
    power-4 polynomial: 337634376772747264.000000

->at 21/1/21:
    actual: 8.750000
    power-2 polynomial: 8.716271
    power-3 polynomial: 5235426663936.000000
    power-4 polynomial: 365864873990553600.000000

->at 22/1/21:
    actual: 8.750000
    power-2 polynomial: 8.719789
    power-3 polynomial: 5557937401344.000000
    power-4 polynomial: 393601553535074304.000000

->at 25/1/21:
    actual: 8.750000
    power-2 polynomial: 8.730348
    power-3 polynomial: 6418296644096.000000
    power-4 polynomial: 473848191100387328.000000

```

Παρατηρούμε ότι το πολυώνυμο 2ου βαθμού δίνει μια ικανοποιητική (για ελάχιστα τετράγωνα) προσέγγιση της πραγματικής τιμής για κάθε συνεδρίαση, ενώ τα πολυώνυμα 3ου και 4ου βαθμού εξωστραχίζονται πλήρως, επιστρέφοντας παράλογα νούμερα με εξωφρενικά σφάλματα.

Το ίδιο συμβαίνει και για τις τιμές των συνεδριάσεων που

χρησιμοποιήσαμε για να χτίσουμε τα πολυώνυμα των ελάχιστων τετραγώνων:

Predictions of conferences used to build the polynomial (CENER):

->at 14/1/21:

actual: 1.710000
power-2 polynomial: 1.740019
power-3 polynomial: -1292640862531.750000
power-4 polynomial: -185971503131525120.000000

->at 13/10/2:

actual: 1.736000
power-2 polynomial: 1.736000
power-3 polynomial: 13504352.170410
power-4 polynomial: 2509348473856.000000

->at 12/1/21:

actual: 1.720000
power-2 polynomial: 1.740009
power-3 polynomial: -803079753541.500000
power-4 polynomial: -116471453016129536.000000

->at 11/1/21:

actual: 1.710000
power-2 polynomial: 1.740004
power-3 polynomial: -558385712924.125000
power-4 polynomial: -81481562230620160.000000

->at 8/1/21:

actual: 1.768000
power-2 polynomial: 1.739989
power-3 polynomial: 175350365837.625000
power-4 polynomial: 24446805135589376.000000

->at 7/1/21:

actual: 1.760000
power-2 polynomial: 1.739984
power-3 polynomial: 419813713671.375000
power-4 polynomial: 60075592254488576.000000

->at 5/1/21:

actual: 1.748000
power-2 polynomial: 1.739973
power-3 polynomial: 908567397570.625000
power-4 polynomial: 131811974127288320.000000

```
->at 4/1/21:
  actual: 1.764000
  power-2 polynomial: 1.739968
  power-3 polynomial: 1152857734545.125000
  power-4 polynomial: 167919333035474944.000000

->at 31/12/20:
  actual: 1.730000
  power-2 polynomial: 1.697030
  power-3 polynomial: 115278176571.250000
  power-4 polynomial: 372187761416863744.000000

->at 30/12/20:
  actual: 1.664000
  power-2 polynomial: 1.697025
  power-3 polynomial: -117774565334.750000
  power-4 polynomial: -372519710488526848.000000
```

```

Predictions of conferences used to build the polynomial (CNLCAP):
->at 14/1/21:
    actual: 8.750000
    power-2 polynomial: 8.691668
    power-3 polynomial: 2478320867328.000000
    power-4 polynomial: 157894205945937920.000000

->at 13/1/21:
    actual: 8.750000
    power-2 polynomial: 8.688156
    power-3 polynomial: 2013163784192.000000
    power-4 polynomial: 126212939140038656.000000

->at 12/1/21:
    actual: 8.750000
    power-2 polynomial: 8.684646
    power-3 polynomial: 1530197704704.000000
    power-4 polynomial: 94039129007849472.000000

->at 11/1/21:
    actual: 8.550000
    power-2 polynomial: 8.681136
    power-3 polynomial: 1029433840128.000000
    power-4 polynomial: 61373173932752896.000000

->at 8/1/21:
    actual: 8.550000
    power-2 polynomial: 8.670610
    power-3 polynomial: -579578888704.000000
    power-4 polynomial: -39575919584608256.000000

->at 7/1/21:
    actual: 8.550000
    power-2 polynomial: 8.667104
    power-3 polynomial: -1151474448896.000000
    power-4 polynomial: -74208918644981760.000000

->at 5/1/21:
    actual: 8.750000
    power-2 polynomial: 8.660092
    power-3 polynomial: -2348554958336.000000
    power-4 polynomial: -144948451837214720.000000

```

```
->at 4/1/21:
  actual: 8.750000
  power-2 polynomial: 8.656588
  power-3 polynomial: -2973734987776.000000
  power-4 polynomial: -181054967522525184.000000

->at 31/12/20:
  actual: 8.750000
  power-2 polynomial: 8.748237
  power-3 polynomial: -40008511705088.000000
  power-4 polynomial: -1144699195467235328.000000

->at 30/12/20:
  actual: 8.750000
  power-2 polynomial: 8.751762
  power-3 polynomial: 40010753565184.000000
  power-4 polynomial: 1144968267073323008.000000
```

Καταλήγουμε πως σε περίπτωση που χρειάζεται να προβλέψουμε αυξομειούμενη, volatile τιμή, όπως αυτές του χρηματιστηρίου ή των κρυπτονομισμάτων, είναι καλύτερο να καταφεύγουμε σε ελάχιστα τετράγωνα βαθμού 2.